

# تأثیر متغیرهای دستگاه و تاب نخ پلی استر بر خواص نخهای حجیم شده در جت هوا

دکتر محمد حقیقت کیش

دانشیار دانشکده نساجی دانشگاه صنعتی امیرکبیر

محمد رضا محدث مجتبه‌ی

دانشجوی دکتری دانشگاه لیدز

چکیده:

دمیدن هوا بر نخهای فیلامنتی که از مجرای مناسبی (jet هوا) عبور می‌کنند باعث بوجود آمدن ساختار پیچ خورده، حلقه‌دار و خم شده رشته‌های (فیلامنتهای) نخ می‌گردد. سرعت و ازدیاد تغذیه نخ به جت، فشار هوا و تاب نخ اولیه بر خواص نخ تولید شده که دارای حجم بیشتری است مؤثر است. این عوامل در دستگاه آزمایشگاهی ساخته شده تغییر داده شد و خواص نخ حجیم شده اندازه گیری گردید. نتایج بدست آمده با مراجده به تأثیرهای موجود در رابطه با مکانیزم حجیم شدن مورد بحث قرار گرفته است.

## *Effects of Machine Parameters And Yarn Twist on The Properties of Air Textured Yarn*

M. Haghigat Kish

Associate Prof. Textile Eng. Dept. Amirkabir University

M. Mohades Mojtabehi

Graduate Student Leeds University

### **Abstract:**

Bulk in continuous filament yarn can be produced by blowing a stream of air in to a filament yarn while it is being fed in to the jet at higher rate than it is being delivered. Yarn speed, yarn over feed, air pressure and parent yarn twist affect the properties of bulked yarn.

In an air jet texturing machine, constructed in our laboratories, the yarn was textured with varying processing parameters, such as yarn speed, overfeed, air pressure, and yarn twist. The strength, breaking elongation, stability and increase of linear density of the yarn samples were determined. The results are discussed with reference to the current theories on bulk formation in air jet texturing.

## ۱) مقدمه

رشته‌ها را تأمین می‌نماید. هنگامیکه نخ با زاویه قائم نسبت به محور مجرای هوا خارج می‌گردد رشته‌هایی که سرعت خارج شده‌اند تشکیل حلقه‌ی می‌دهند. اگر نخ قبل از ورود به جت هوا تر شود حلقه‌های بیشتر تشکیل می‌گردد و نخ حجمی تری تولید می‌شود. برای بهترین حجم نخ مقدار حداقل مشخصی آب باید مورد استفاده قرار گیرد. اگرچه تأثیر آب بر خواص نخ به طور مشخص مورد توجه قرار گرفته است (۱۰ و ۱۲)، لیکن مکانیزم عمل آن تاکنون مشخص نشده است. کوتاری Kothari (۱۲) و همکاران معتقدند که علل دیگری غیر از تغییر اصطکاک بین فیلامنتهای بیشتر حجمی شدن نخ در اثر حضور آب نیز وجود دارد.

تأثیر عوامل تولید (فشار هوا، ازدیاد تغذیه، سرعت نخ، شکل سطح مقطع فیلامنتهای اصطکاک بین فیلامنتهای) مورد توجه گروهی دیگر قرار گرفته است (۱۱، ۱۳، ۱۴). با افزایش ازدیاد تغذیه و یا فشار هوا "ناپایداری"، "افزایش جرم مخصوص خطی" و "کاهش استحکام" افزایش می‌یابد. افزایش هر سه این عوامل نشانه بهتر حجمی شدن نخ است. با افزایش سرعت نخ ناپایداری تغییر چندانی نمی‌نماید لیکن "افزایش جرم مخصوص خطی" و "کاهش استحکام" کاهش می‌یابد. تأثیر دو نوع طرح جت و افزایش آب، نیز مورد بررسی قرار گرفته است. نخ پلی استر در مقابله نخ پلی آمید مورد آزمایش قرار گرفته و مشاهده شده است که نخ پلی استر قابلیت حجمی شدن بیشتری را دارد. با افزایش جرم مخصوص خطی فیلامنهای پلی استر "افزایش جرم مخصوص خطی نخ" و "کاهش استحکام" کاهش می‌یابد و ناپایداری پس از افزایش ابتدائی کاهش می‌یابد. با افزایش جرم مخصوص خطی کل نخ ناپایداری، "کاهش استحکام" و "افزایش جرم مخصوص خطی" کاهش می‌یابد (۱۱). کوتاری Kothari و دیگران نیز نشان دادند که اصطکاک دینامیکی بین رشته‌های درون نخ بر خواص نخ حجمی شده مؤثر است (۱۳).

موضوع بیان کیفیت نخ حجمی شده توسط Demir (۱۴) مورد توجه قرار گرفته که دو دستگاه ساده را برای اندازه گیری ناپایداری بیان می‌نماید. Sengupta و همکاران (۱۵) روش دیگری بر مبنای اعمال نیروهای متواالی را ارائه نمودند. حجمی کردن نخ هایی که از الیاف کوتاه ساخته شده‌اند نیز مورد توجه برخی از محققین قرار گرفته است (۱۶، ۱۷).

## ۳) تجربیات

نخهای مصنوعی فیلامنتی از رشته‌هایی صاف و بدون موج و بعد و پیچ و حلقه ساخته شده‌اند. این نخها دارای حجم و فضای خالی مناسب جهت استفاده در تولید پارچه قابل قبول برای بیشتر مصارف نمی‌باشند. یکی از روش‌های تغییر شکل این نخها که امروزه مورد توجه بسیاری است تغییر شکل مکانیکی رشته‌های نخ توسط جت هوا می‌باشد. اندازه گیریها (۱) نشان داده است که وقتی رشته‌های نخ در جت در معرض جریان اغتشاشی، چرخشی با سرعت فراصوت قرار می‌گیرند از هم‌جداشده به صورت خم شده، حلقه‌ای موج و چین دار در می‌آیند. در مقاله‌ای که قبلاً ارائه گردید (۲) همراه با ارائه اصول روش حجمی کردن نخ و روش ارزیابی، مقالات قابل دسترس تا نیمه سال ۱۹۸۶ مرور گردید. نتایج برخی از آزمایشهای انجام شده نیز مورد توجه قرار گرفت.

در دستگاه جدیدی که در کارگاه‌های جهاد دانشگاهی صنعتی امیرکبیر ساخته شد به منظور بهینه سازی شکل و ساختار هندسی جت، جت‌های مختلفی ساخته و مورد آزمایش قرار گرفت نتایج درجای دیگری مورد بحث قرار گرفته است (۳ و ۴).

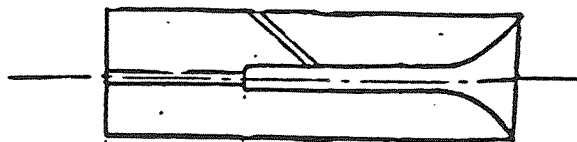
در مقاله حاضر ابتدا مقالاتی که بعد از سال ۱۹۸۵ منتشر و در دسترس قرار گرفته است مرور خواهد شد. سپس نتایج تجربیات درباره تأثیر سرعت نخ، فشار هوا، افزایش تغذیه، تاب و ظرافت نخ مورد بحث قرار خواهد گرفت.

## ۲) مروری بر مقالات

رای Wray و همکاران همچنان تحقیقات خود را در زمینه‌های مختلف حجمی کردن نخ به وسیله جت هوا ادامه و نتایج راطی مقالاتی منتشر نمودند (۵، ۶، ۷، ۸، ۹، ۱۰، ۱۱). در این سری از مقالات ابتدا تاریخچه بوجود آمدن جت هوا برای حجمی کردن نخهای فیلامنتی مورد بحث قرار گرفته است (۶) و سپس نیروهای وارد بر نخ حین تولید و عوامل مؤثر بر نیروهای حاصل از حرکت سیال مورد بحث قرار گرفته است (۷). ویژگیهای جریان هوا موضوعی است که خواص نخ حجمی شده را تعیین می‌کند و مورد توجه باک و لونشلاسه شده Acar و دیگران نیز پی گیری شده است (۸). بالاخره Buck and Lunenschloss چگونگی تشکیل حلقه‌ها و کوتاه شدن نخ بیان شده است. در اثر نیروی حاصل از سیال بعضی از فیلامنهای نخ با سرعت بیشتری حرکت می‌کنند (۹). ازدیاد تغذیه نخ طول اضافی

### ۱-۳) مواد

اصلی دستگاه رانشان می‌دهد.  
 نخ خام از بسته ۱ باز شده پس از عبور از روی راهنمای (۲) و تقطیم کشش چنگالی ۳ وارد غلتکهای تغذیه کننده (۴) می‌شود. نخ پس از عبور از ظرفی که همواره سطح آب در آن ثابت نگه داشته می‌شد ۵ وارد جت هوا ۶ و از آنجا توسط غلتک تولید ۷ گرفته و روی بسته نخ ۸ پیچیده می‌شد. جت از جنس پرسپکس Prespex ساخته شده که مقطع آن در شکل ۲ نشان داده شده است.

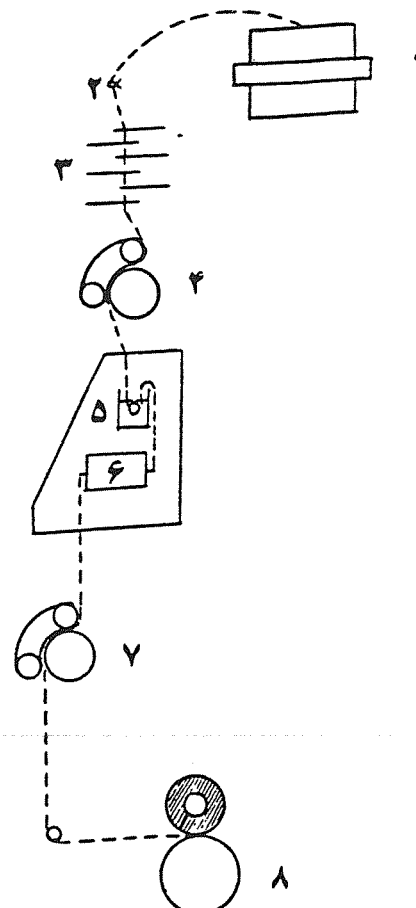


شکل ۲- طرح جت

دو دسته تجربیات صورت گرفته است در دسته اول سرعت، از دیاد تغذیه و فشار هوا متغیر و از نخ نمره  $2 \times 300/67$  استفاده گردید. در دسته دوم تجربیات سرعت نخ ۱۵۰ متر بر دقیقه، فشار هوا ۵ بار و از دیاد تغذیه ۲۵٪ انتخاب گردید و نمره و تاب نخ به عنوان متغیر مورد ارزیابی قرار گرفت.

### ۲-۳) تولید نخ حجیم

نخهای فوق با استفاده از دستگاه حجیم کننده نخ آزمایشگاهی به نخ حجیم تبدیل گردید. شکل ۱ قسمتهای



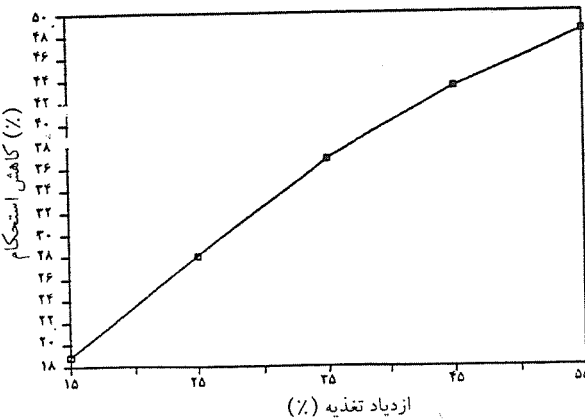
۱- نخ خام ۲- راهنمای ۳- وسیله ایجاد کشیدگی ۴- غلتک تغذیه  
 ۵- وسیله خیس کننده ۶- جت هوا ۷- غلتک تولید ۸- غلتک برداشت  
 شکل ۱- مسیر عبور نخ در دستگاه آزمایشگاهی تکسچره کردن توسط جت هوا

### ۴-۳) نتایج و بحث

#### ۱-۴-۱) مشاهدات عمومی و تأثیر آب

از همان ابتدا مشخص گردید که جرم مخصوص خطی نخ در اثر حجیم شدن افزایش می‌یابد. ظاهر نخ عوض شده و نخها به صورت نخهایی که از الیاف کوتاه ساخته شده اند ظاهر

می گرددند. چنانچه نخ قبل از ورود به جت از حمام آبی عبور نماید تولید پایدارتر و قدرت حجمی کنندگی جت افزایش می یابد.



شکل ۴- تأثیر ازدیاد تغذیه بر کاهش استحکام نخ تکسچره توسط جت هوا

jet مشخص بکار رفته، حداقل ازدیاد طول تا حد پارگی در ازدیاد تغذیه ۳۵٪ اتفاق افتاده است (شکل ۵). ممکن است چنین توجیه شود که تا ازدیاد تغذیه ۳۵٪ تشکیل حلقه مؤثر اتفاق افتاده و درنتیجه درگیری زیاد بین حلقه ها باعث کاهش ازدیاد طول تا حد پارگی گشته و پس از آن به علت ایجاد حلقه های بزرگ و ناپایدار ازدیاد طول تا حد پارگی افزایش یافته است.

در شکل ۶ دیده می شود که افزایش ازدیاد تغذیه باعث افزایش ناپایداری شده است که می تواند به علت زیادتر شدن تعداد حلقه ها و امکان کشیده شدن آنها تحت تأثیر نیرو باشد.

به طور کلی در منحنیهای به دست آمده، افزایش دانسیته خطی و ناپایداری و کاهش استحکام تقریباً به صورت خطی است. در حالی که در منحنیهای ارائه شده توسط آکار (۱۱) شکل منحنی تا ازدیاد تغذیه ۲۰٪ خطی است. این اختلاف شاید در اثر اختلاف در طرح جتهای مورد استفاده باشد.

### ۳-۴-۳ فشار هوا

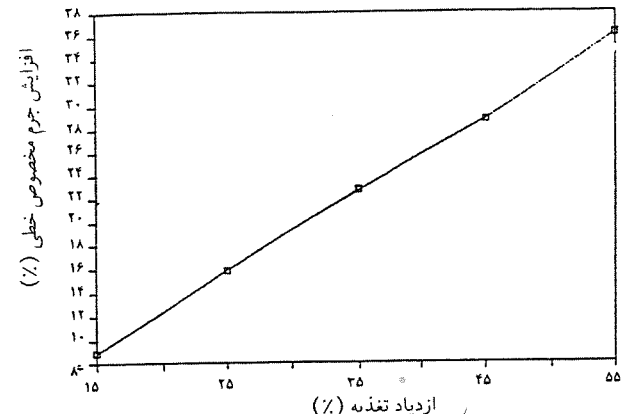
بالافزایش فشار هوا، تشکیل حلقه مؤثرتری اتفاق می افتد و چنانکه در شکل ۷ دیده می شود، باعث افزایش کمی در جرم مخصوص خطی خواهد شد. در شکل ۸ ملاحظه می شود که با افزایش فشار هوا، درصد کاهش استحکام کاهش پیدا می کند که شاید به علت درگیری بهتر حلقه ها و افزایش اصطکاک داخلی بین فیلامنتها و توزیع یکنواخت تر تنش روی رشته ها باشد.

افزایش فشار هوا باعث افزایش سرعت نسبی نخ می گردد. با

### ۳-۴-۴) ازدیاد تغذیه

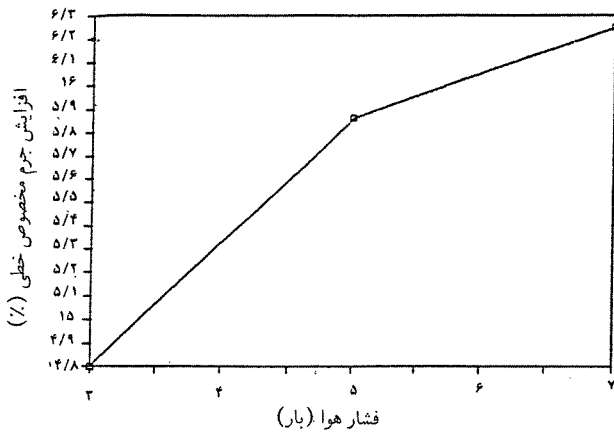
شکل ۳ تأثیر ازدیاد تغذیه بر افزایش جرم مخصوص خطی را نشان می دهد. ملاحظه می شود که با افزایش ازدیاد تغذیه، در صد افزایش جرم مخصوص خطی افزوده می گردد و این افزایش به صورت خطی است. افزایش جرم مخصوص خطی برابر با افزایش ازدیاد تغذیه نمی باشد که نشان می دهد تمام حلقه ها و خم شدن های رشته ها در نخ پایدار نیستند و حداکثر ازدیاد تغذیه ای که بتوان نخ را در شرایط پایدار تکسچره کرد بستگی به نوع جت دارد و در حقیقت قدرت تکسچره کردن جت را نشان می دهد.

همان طور که قبل اشاره شد آکار (۱۱) با استفاده از یک جت تجاری تجربیات خود را انجام داد. مقایسه شکل ۳ با نتایج آکار در رابطه با تأثیر ازدیاد تغذیه بر افزایش جرم مخصوص خطی نشان می دهد که جت ساخته شده در این پروژه موفق و دارای کارآیی کافی می باشد.

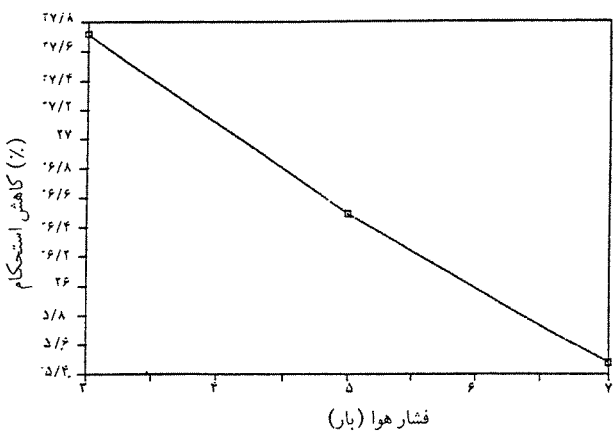


شکل ۳- تأثیر ازدیاد تغذیه بر افزایش جرم مخصوص خطی نخ تکسچره توسط جت هوا.

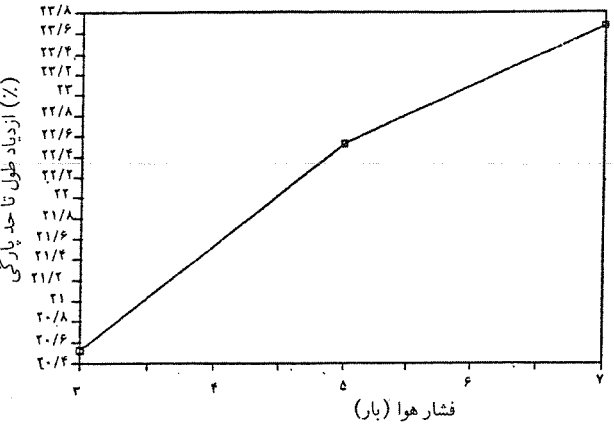
هنگامی که ازدیاد تغذیه افزوده شود، به دلیل تشکیل حلقه بیشتر و ساختمان بازتر نخ، در صد کاهش استحکام چنانکه در شکل ۴ ملاحظه می شود، افزایش می یابد. با افزایش ازدیاد تغذیه، ابتدا کاهش مختصراً در ازدیاد طول تا حد پارگی ملاحظه می شود و سپس سریعاً افزایش می یابد. در



شکل ۷- تأثیر فشار هوا در افزایش جرم مخصوص خطی نخ تکسجروه توسط جت هوا



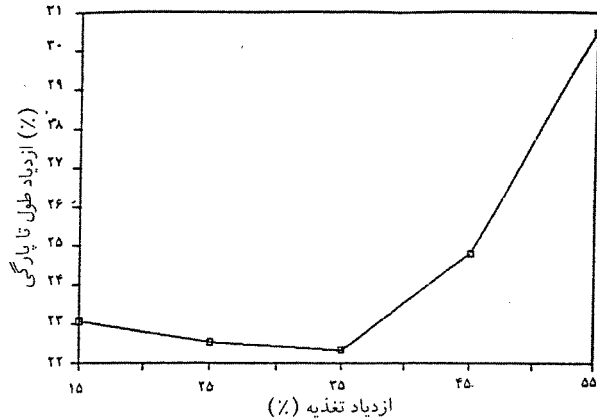
شکل ۸- تأثیر فشار هوا بر کاهش استحکام نخ تکسجروه توسط جت هوا



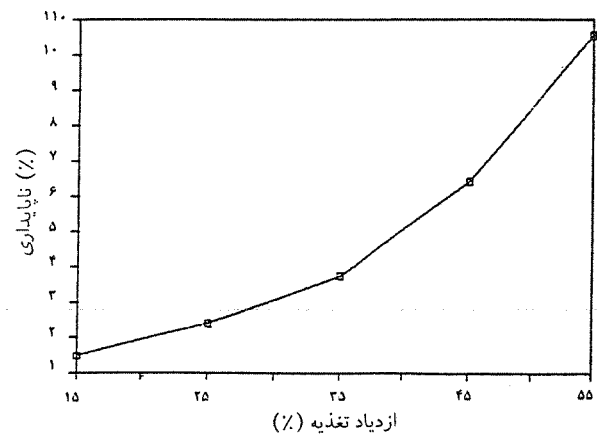
شکل ۹- تأثیر فشار هوا بر از دیداد طول تا حد پارگی نخ تکسجروه توسط جت هوا

افزایش فشار هوا، به علت بیشتر شدن تعداد حلقه ها و امکان کشیده شدن آنها، از دیداد طول تا حد پارگی و ناپایداری به مقدار کمی افزایش می یابد. شکلهای ۱۰ و ۹ به ترتیب تأثیر فشار هوا را بر از دیداد طول تا حد پارگی و درصد ناپایداری را نشان می دهد.

منحنیهای تغییرات جرم مخصوص خطی، ناپایداری و از دیداد طول تا حد پارگی به دست آمده با منحنیهای ارائه شده توسط آکار (۱۱) مطابقت دارد.

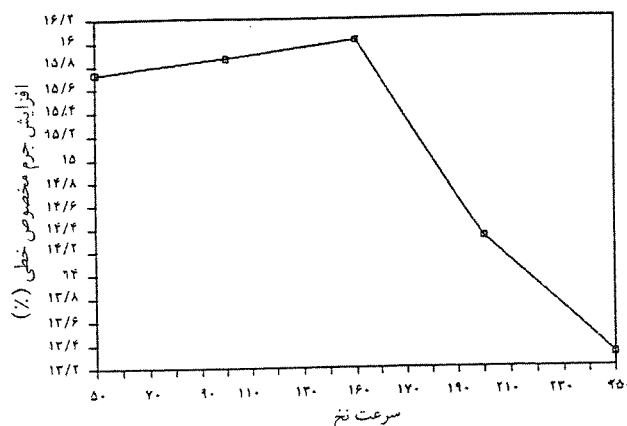


شکل ۵- تأثیر از دیداد تغذیه بر کاهش از دیداد طول تا حد پارگی نخ تکسجروه توسط جت هوا

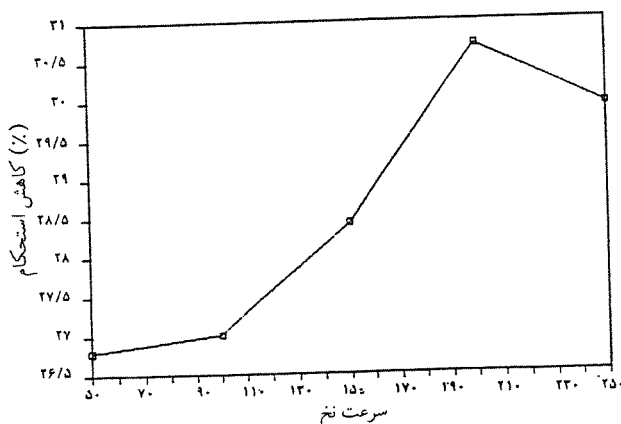


شکل ۶- تأثیر از دیداد تغذیه بر ناپایداری نخ تکسجروه توسط جت هوا

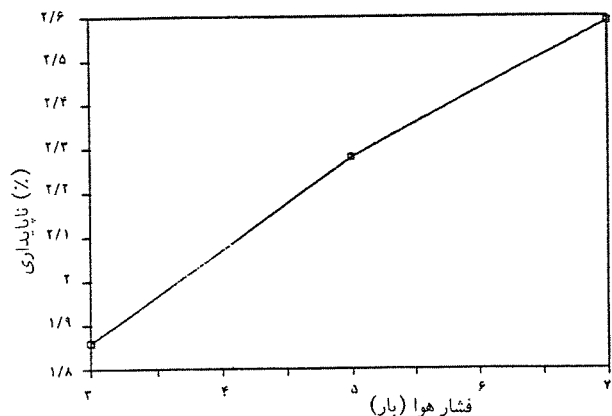
رفتار ازدیاد طول تاحد پارگی نیز مانند رفتار استحکام است. یعنی تا سرعت حدود  $150 - 200 \text{ m/min}$  به علت تشکیل حلقه مؤثرتر و درگیری بهتر حلقه ها، ازدیاد طول تاحد پارگی کاهش می یابد ولی در سرعتهای بیشتر به دلیل تنزل کیفیت تشکیل حلقه و ایجاد حلقه های بزرگتر و ساختمان باز نخ، ازدیاد طول تاحد پارگی افزایش می یابد. شکل ۱۳ تأثیر سرعت نخ را بر ازدیاد طول تاحد پارگی نشان می دهد. ناپایداری نخ نیز تا سرعت  $150$  متر بر دقیقه کاهش یافته و سپس به تدریج افزایش می یابد که نشان دهنده تنزل خواص نخ است. تأثیر سرعت نخ بر درصد ناپایداری در شکل ۱۴ نشان داده شده است.



شکل ۱۱ - تأثیر سرعت تکسجهه کردن بر افزایش جرم مخصوص خطی نخ تکسجهه توسط جت هوا



شکل ۱۲ - تأثیر سرعت تکسجهه کردن بر کاهش استحکام نخ تکسجهه توسط جت هوا



شکل ۱ - تأثیر فشار هوا بر ناپایداری نخ تکسجهه توسط جت هوا

### ۳-۴-۴) سرعت تکسجهه کردن

چنانکه در شکل ۱۱ مشاهده می شود، با افزایش سرعت تکسجهه کردن ابتدا افزایش کمی در جرم مخصوص خطی ملاحظه می شود و پس از سرعت  $150 \text{ m/min}$  از درصد افزایش جرم مخصوص خطی کاسته می گردد. زیرا با افزوده شدن سرعت، زمانی که فیلامنتها تحت تأثیر جریان هوا قرار می گیرند کاسته می گردد.

چنانکه در شکل ۱۴ نیز ملاحظه خواهد شد، در سرعتهای کمتر از  $150 \text{ m/min}$  ساختمان نخ خیلی باز و حلقه های بزرگ تشکیل می شود لذا در سرعتهای کمتر از  $150 \text{ m/min}$  با افزایش سرعت، افزایش جرم مخصوص خطی و کاهش ناپایداری ملاحظه می شود. با توجه به نکات فوق به نظر می رسد با جت مشخص به کار رفته، سرعت  $150 \text{ m/min}$  مطلوب باشد.

موضوع کاسته شدن افزایش جرم مخصوص در سرعتهای بیشتر از  $150 \text{ m/min}$  یکی از معایب جت ساخته شده می باشد که باید علت آن را جستجو نموده و برای تولید در سرعت بالا آن را برطرف نمود. درصد کاهش استحکام تا سرعت  $200 \text{ m/min}$  سیر صعودی دارد ولی پس از آن کاهش می یابد، علت کاهش استحکام تا سرعت  $200 \text{ m/min}$  به علت تشکیل حلقه بهتر می باشد ولی پس از آن از کیفیت تشکیل حلقه کاسته شده ولذا استحکام افزوده می گردد. شکل ۱۲ این موضوع را نشان می دهد که شکل ساختاری نخ که در سرعتهای بالا تولید می گردد با آنچه که در سرعت کم تولید می شود متفاوت است. بین سرعت  $150$  و  $200$  متر بر دقیقه توزیع نتش نایکنواخت تر می شود.

فیلامنتها از یکدیگر در جت هوا و سپس جابجایی طولی آنها نسبت به یکدیگر کاهش می یابد و از طرف دیگر افزایش تاب تا حد مشخصی باعث پایداری حلقه های تشکیل یافته و به هم فشرده تر شدن ساختمان نخ حجیم شده می گردد.

چنانکه در شکل ۱۵ ملاحظه می شود، در مورد نخ  $2 \times 300$  den افزایش تاب تا مقدار  $250 \text{ tpm}$  باعث افزایش جرم مخصوص خطی می گردد ولی پس از آن منجر به کاهش جرم مخصوص خطی می شود. در صد کاهش استحکام نیز تا محدوده تاب  $250 \text{ tpm}$  کاهش می یابد و پس از آن افزوده می گردد. شکل ۱۶ تأثیر تاب نخ تغذیه بر کاهش استحکام را نشان می دهد.

کاهش ازدیاد طول تا حد پارگی نسبت به نخ خام نیز مانند جرم مخصوص خطی با افزایش تاب، زیاد می شود ولی پس از  $250 \text{ tpm}$  افزایش کمی از خود نشان می دهد. شکل ۱۷ این تأثیر را نشان می دهد.

در شکل ۱۸ ملاحظه می شود که ناپایداری نخ در محدوده محدوده تاب، باعث افزایش ناپایداری گشته است.

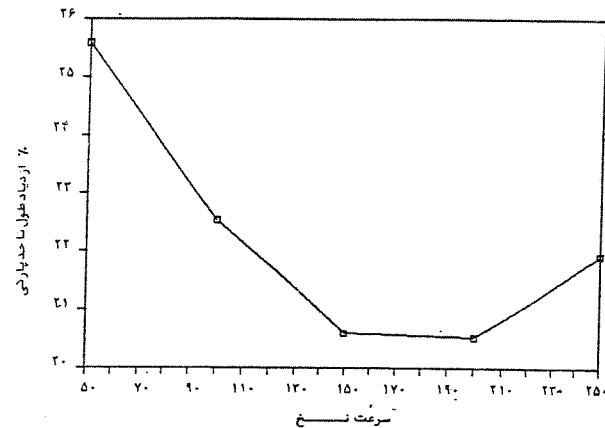
منحنی های مربوط به نخ  $3 \times 300$  den تا حد زیادی مشابه نخ  $2 \times 300$  den می باشد، فقط در مورد استحکام تفاوت وجود دارد به این صورت که در نقطه  $150 \text{ tpm}$  کاهش استحکام ماکریم شده و در  $200 \text{ tpm}$  می نیم می گردد (شکل های ۱۹، ۲۰، ۲۱، ۲۰، ۲۲، ۲۱). با مقایسه شکل های ۱۵ و  $3 \times 300$  den ملاحظه می گردد که افزایش نمره نخ از  $2 \times 300$  به  $3 \times 300$  دنیز، تغییری در حد اکثر افزایش جرم مخصوص خطی (۱۷/۶٪) ایجاد نمی نماید.

در این صورت افزایش تولید با افزایش نمره نخ به سهولت قابل دسترسی است. اما به طور کلی هر جت مشخص در محدوده نمره نخ معینی می تواند عمل تکسچره کردن را به طور مطلوب انجام دهد.

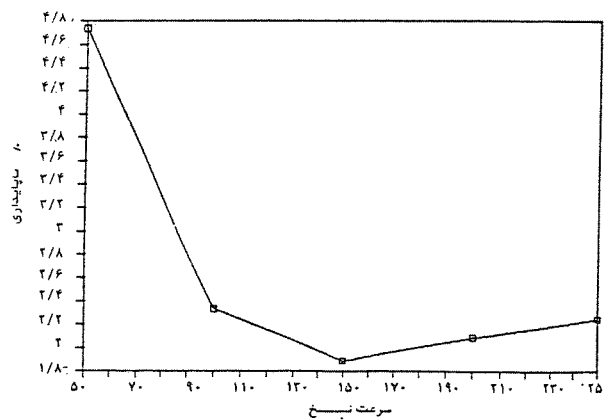
#### ۴ نتیجه گیوی

یک دستگاه حجیم کننده نخ ساخته و مجهز به جت هوا گردید. دستگاه برای تولید نخ حجیم مورد استفاده قرار گرفت. عوامل متغیر در ماشین یعنی فشار هوا، سرعت نخ، ازدیاد تغذیه برای یک نخ بخصوص در حدود ممکن تغییر داده شد. خواص نخ حجیم (افزایش جرم مخصوص خطی، ناپایداری، استحکام

منحنیهای تأثیر سرعت که فوقاً به آنها اشاره شد با رفتاری که توسط رای (۱۱) ارائه شده مطابقت ندارد، شاید این اختلاف در اثر اختلاف در طرح جت مورد استفاده باشد.

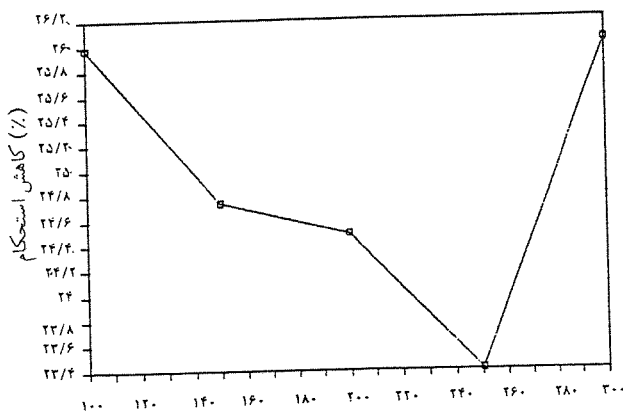


شکل ۱۳ - تأثیر سرعت تکسچره کردن بر ازدیاد طول تا حد پارگی نخ تکسچره توسط جت هوا

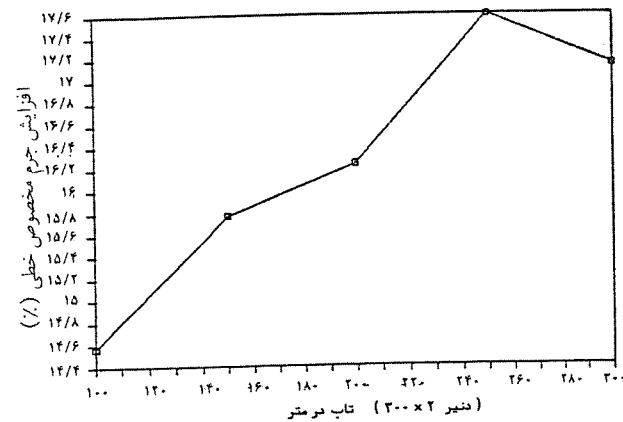


شکل ۱۴ - تأثیر سرعت تکسچره کردن بر ناپایداری نخ تکسچره کردن توسط جت هوا

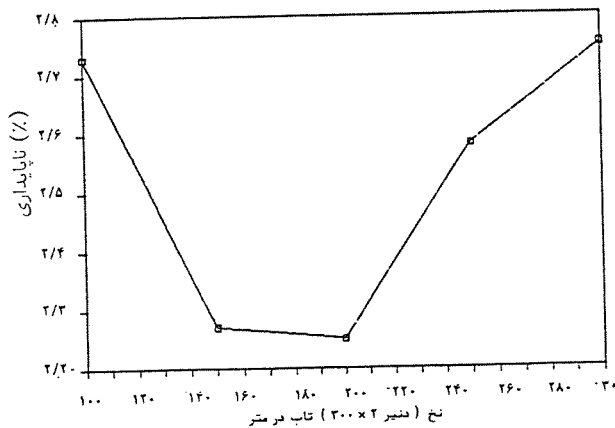
۵-۴-۳) تأثیر پارامترهای نخ تغذیه روی خواص نخ تکسچره توسط جت هوا با ثابت نگهداشت پارامترهای فرآیند (ازدیاد تغذیه  $25\%$ ، سرعت  $150$  متر بر دقیقه، فشار ۵ بار) نمره نخ و تاب در متر نخ تغییر داده شد. برای این منظور نخ نمرات  $2 \times 300$  و  $3 \times 300$  den انتخاب شد و تابهای مختلف روی هر کدام از آنها اعمال گردید. به طور کلی افزایش تاب در نخهای فیلامنти باعث افزایش تراکم و به هم فشرده شدن فیلامنتها و کاهش استحکام می گردد. از یک طرف با افزوده شدن تاب، امکان جدا شدن



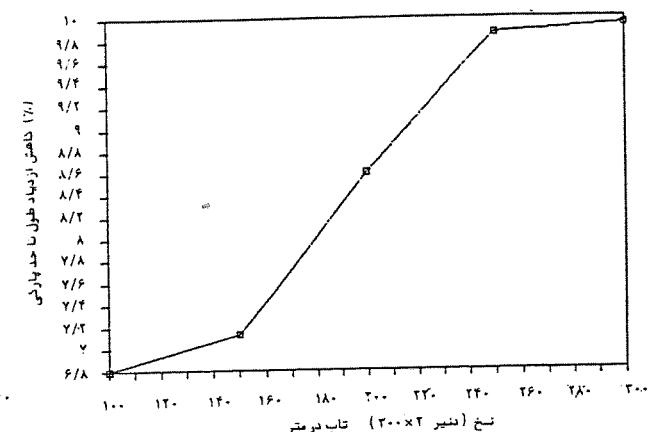
شکل ۱۶ - تأثیر تاب بر کاهش استحکام نخ تکسجره توسط جت هوا



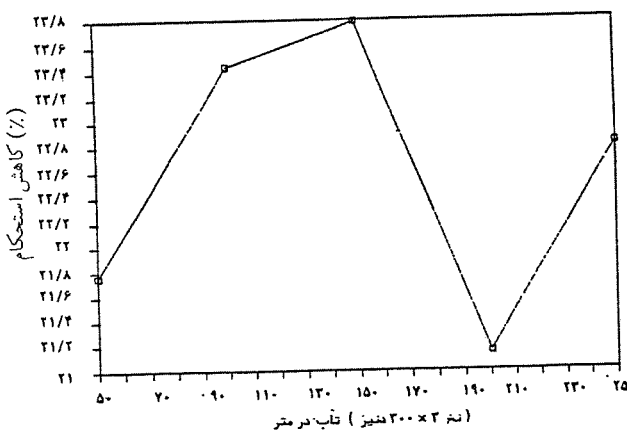
شکل ۱۵ - تأثیر تاب بر افزایش جرم مخصوص خطی نخ تکسجره توسط جت هوا



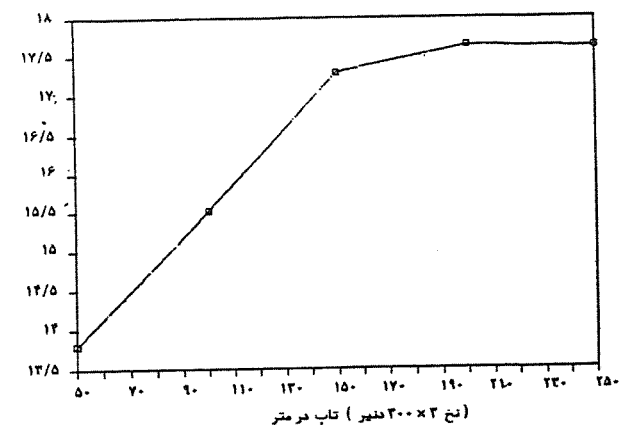
شکل ۱۸ - تأثیر تاب بر ناپایداری نخ تکسجره توسط جت هوا



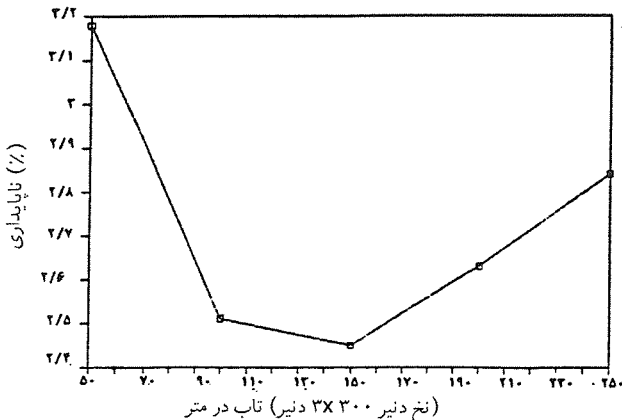
شکل ۱۷ - تأثیر تاب در ازدیاد طول قاحد پارگی نخ تکسجره توسط جت هوا



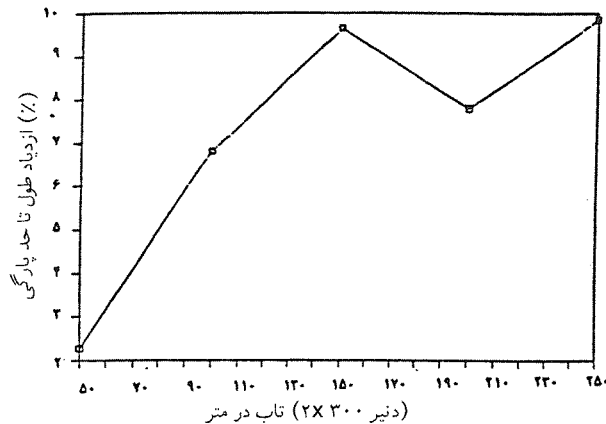
شکل ۲۰ - تأثیر تاب در کاهش استحکام نخ تکسجره توسط جت هوا



شکل ۱۹ - تأثیر تاب در افزایش جرم مخصوص خطی نخ تکسجره توسط جت هوا



شکل ۲۲- تأثیر تاب بر درصد ناپایداری



شکل ۲۱- تأثیر تاب در کاهش ازدیاد طول تا حد پارگی نخ تکسیج رو  
توسط جت هوا

و ثانیاً چه ارتباطی بین خواص نخ و عوامل متغیر دستگاه وجود دارد؟ در حال حاضر به علت پیچیدگی جریانهای اغتشاشی پاسخ به سئوال اول ناقص باقی می‌ماند. در گروه دوم آزمایشات عوامل متغیر در دستگاه ثابت نگهداشت شد و برای جت با طرح مخصوص تأثیر تاب برای دو نمره نخ مورد ارزیابی قرار گرفت. در هر دو نخ افزایش تاب باعث درگیری بیشتر حلقه‌ها می‌شود. نتایج آزمایش ناپایداری را نمی‌توان تنها به استناد فرضیه مکانیزم حجیم شدن در اثر اغتشاشی بودن هوا توضیح داد. تقلیل استحکام نخ در اثر نایکنواخت شدن توزیع تنش روی هر یک از فیلامنتهای است که این تغییر اتفاقی است. کمیت درصد ناپایداری یک مقدار فیزیکی فرضی از پیش تعريف شده است. نمی‌توان آن را به عنوان یک ویژگی مشخص مورد استفاده قرار داد.

جهت روش ترشدن مکانیزم فرآیند حجیم کردن نخها تعیین تأثیر مقدار آب و هوای مصرفی، تأثیر مقدار کشیدگی در ناحیه برداشت، ظرافت فیلامنتهای جنس فیلامنتهای این تحقیق باید ادامه یابد.

و ازدیاد طول تا حد پارگی) اندازه گیری شد. نتایج نشان می‌دهد که افزایش ازدیاد تغذیه نخ به دستگاه برای جت بکار برده شده باعث افزایش ناپایداری و جرم مخصوص خطی و کاهش استحکام و ازدیاد تغذیه طول تا حد پارگی می‌گردد. افزایش فشار هوا باعث افزایش جرم مخصوص خطی، ازدیاد طول تا حد پارگی و ناپایداری نخ می‌گردد و لیکن کاهش استحکام نخ کمتر می‌شود. سرعت نخ بر خواص نخ تأثیر پیچیده تری داشت.

در دستگاه حجیم کنندۀ سرعت غلتکهای تغذیه بیشتر از غلتکهای گیرنده (تولید) می‌باشد. وقتی نخ در مجرای جت هوا قرار می‌گیرد به علت جریان اغتشاشی و سرعت زیاد هوا هر یک از فیلامنتهای نخ با سرعت متفاوتی حرکت می‌کند. فیلامنتهایی که در جایی درگیری ندارند با سرعت بیشتری از جت خارج می‌شوند و چون امتداد مسیر آنها در خروج از جت ۹۰ درجه تغییر می‌کند فیلامنتهای آزاد حلقه دار شده و نخ حجیم می‌گردد.

سوالی که در مورد این فرآیند مطرح می‌باشد به دو صورت است. اولاً شکل هر فیلامنت در نخ به چه عواملی بستگی دارد؟

### قدرتانی و تشکر:

کارگاههای ریسندگی بافنده‌گی و آزمایشگاه فیزیک دانشکده نساجی و خانم وجیهه قبادی به جهت تایپ اولیه این مقاله تشکر و قدردانی می‌گردد.

انجام این پروژه بدون همکاری بسیاری از اعضاء جهاد دانشگاهی، استادان و کارکنان دانشکده نساجی ممکن نبود لذا نویسنده‌گان این مقاله تشکرات قلبی خود را به آنان ابراز می‌دارند. به خصوص از خدمات آقای محمدی و کارکنان

- 1- G. Buck and J. Lunenschlosse in "Textile Machinery Investing for the Future" An Analysis of Air Jet Texturing, The Textile Institute Manchester, 1982
- ۲- حقیقت کیش و م. م. مجتهدی «تجزیه و تحلیل فرآیند تولید نخهای حجیم به وسیله جت هوا» امیرکبیر سال دوم شماره ۸، ۱۳۶۶-۲۵۹ صفحه ۲۵۲-۲۵۶
- ۳- م. مجتهدی «بهینه سازی جت هوا در فرآیند حجیم کردن نخهای فیلامنتی» پژوهه کارشناسی ارشد، دانشکده نساجی-دانشگاه صنعتی امیرکبیر- ۱۳۶۹
- 4- A. Rastgou, M. H. Kish and M. R.M. Mojtahe-di, Design Parameters of Air Jet Nozzles In Air Texturing ,Submitted For Book of Papers of the VI. International Conference on The Theory of Machines And Mechanisms, Liberec Czchoslovakia, 1992
- 5- M. Acar and G. R.Wray, An Analysis of The Air-Jet Yarn Texturing Process, Part I: A Brief History of Developments In The Process, J.Text. Inst. No. 1, Vol. 77 pp. 19-27, 1986.
- 6- M. Acar, R. K. Turton and G. R. Wray , An Analysis of The Air-Jet Yarn-Texturing Process, Part II: Experimental Investigation of The air flow, J. Text. Inst. No. 1, Vol. 77, pp. 28-43, 1986.
- 7- M. Acar, R. K. Turton and G. R. Wray, An Analysis of The Air-Jet Yarn-Texturing Process, Part III: Filament Behavior During Texturing, J. Text. Inst. No. 4., Vol. 77, pp. 235-246, 1986.
- 8- M. Acar, R. K. Truton and G.R. Wray, An Analysis of The Air-Jet Yarn-Texturing Process, Part IV: Fluid Forces Acting On The Filament And The Effects of Filament Cross Sectional Area and Shape, J. Text. Inst. No. 4 ., Vol. 77, pp. 247-254, 1986.
- 9- M. Acar, R. K. Turton and G. R. Wray, An Analysis of The Air-Jet Yarn-Texturing Process, Part V: The Effects of Wetting The Yarn, J. Text. Inst. No. 6, Vol. 77, pp . 359-370, 1986.
- 10- M. Acar, R. K. Turton and G. R. Wray, An Analysis of The Air-Jet Yarn-Texturing Process,

- Part VI: The Mechanism of Loop Formation, J. Text. Inst.No. 6, Vol. 77, pp. 371-376. 1986.
- 11- M. Acar, R. K. Turton and G. R. Wray, An Analysis of The Air-Jet Yarn-Texturing Process, Part VII: The Effect of Processing on Yarn Properties, J. Text. Inst. No. 6, Vol. 77, pp. 377-385, 1986.
- 12- V. K. Kothari, A. K. Sengupta and R. S. Rengasamy, Role of Water in Air-Jet Texturing, Part I: Polyester Filament Feeder Yarn With Different Frictional Characteristics, Textile Res. J. No. 9, Vol. 69, pp. 495,1991.
- 13- V. K. Kothari, A. K. Sengupta, R. S. Rengasamy and B.C. Goswami, Influence of Interfilament Friction on Structure and Properties of Air Textured Yarn,Textile Res. J. No. 6, Vol. 67, pp . 317-323, 1989.
- 14- A. Demir, M. Acar and G. R.Wray, Air Jet Textured Yarn: The Effect of Process and Supply Yarn Parameters on Properties of Textured Yarns, Textile Res. J. No. 6, Vol. 58. pp . 318-328, 1988.
- 15- A. Demir, Simplified Instability Measurement Devices For Air Jet Textured Yarn, Textile Res . J. No . 8, Vol. 58 , pp 492-494, 1989.
- 16- A. K. Sengupta, V. K. Kothari and R. S. Alagirusamy, Characterization of The Structural Integrity of Air Jet Textured Yarns, Textile Res. J. No. 12, Vol. 67, pp. 758-5762, 1989.
- 17- A. K. Sengupta, V. K. Kothari and R. S. Alagirusamy Characterization of The Structural Integrity of Air Jet Textured Yarns, Textile Res. J. No. 12, Vol. 67, pp. 758-762, 1989.
- 18- V. K. Kothari, A. K. Sengupta, V. K, J. Srinivasan, And B. C. Goswami, Air-Jet Texturing of Cotton Filament Composite Yarns for Better Apparel Comfort, Textile Res. J . No. 5, Vol. 67, pp. 292-299, 1989.
- 19- A. K. Sengupta, V. K..Kothari and J Srinivasan, Effect of Process Variables in Air Jet Texturing on the Properties of Spun Yarn with Different Structure, Textile Res. J. No. 12, Vol. 67, pp. 729 7736, 1991.